

**МЕХАНИКА  
ТВЕРДОГО ТЕЛА  
№ 3 • 1981**

УДК 531.8

**МОДЕЛИРОВАНИЕ ДИНАМИКИ МАНИПУЛЯТОРА  
С УПРУГИМИ ЗВЕНЬЯМИ**

**АКУЛЕНКО Л. Д., МИХАЙЛОВ С. А., ЧЕРНОУСЬКО Ф. Л.**

При движении управляемых систем, предназначенных для перемещения грузов в пространстве, — манипуляторов, роботов, грузоподъемных машин — в ряде случаев существенное значение имеет упругая податливость конструкций. Упругость систем приводит к дополнительным колебательным степеням свободы. В случае большой массы перемещаемых грузов возникающие упругие колебания низкочастотны, а их амплитуда может быть недопустимо велика, особенно если управляющие воздействия или внешние возмущения попадают в резонанс с частотами упругих колебаний. На практике управление обычно строится на основе идеальной абсолютно жесткой схемы конструкции манипулятора без учета его упругих свойств [1–3]. Поэтому представляет интерес исследовать управляемые движения манипулятора с учетом его упругой податливости. Это позволит оценить возникающие упругие колебания, влияющие на точность выполнения рабочих операций манипулятора. В работе [4] составлены уравнения движения упругого многозвездного манипулятора в матричной форме.

В публикуемой работе динамика плоских управляемых движений манипулятора с учетом упругости его звеньев исследуется моделированием на ЭВМ.

**1. Постановка задачи:** Рассматривается механическая модель манипулятора (фиг. 1), который состоит из двух прямолинейных стержней  $OO_1$ ,  $O_1O_2$  и совершает движение в плоскости  $OXY$ . Стержень  $OO_1$  посредством цилиндрического плечевого шарнира  $O$  соединен с неподвижным основанием. В точке  $O_1$  находится цилиндрический локтевой шарнир, соединяющий стержни  $OO_1$  и  $O_1O_2$ . В точке  $O_2$  расположен цилиндрический кистевой шарнир, посредством которого стержень  $O_1O_2$  соединен с перемещаемым грузом  $P$ . Двузвездная модель манипулятора принята потому, что длины звеньев  $OO_1$ ,  $O_1O_2$  обычно много больше размеров кисти манипулятора. Считаем, что тонкие упругие стержни  $OO_1$ ,  $O_1O_2$  могут совершать поперечные и крутильные колебания малой амплитуды. Изменением их длины, а также продольными упругими смещениями пренебрегаем по сравнению с амплитудой поперечных смещений. Груз  $P$  считаем абсолютно твердым телом с заданными инерционными характеристиками. Массу  $m$  груза  $P$  считаем много большей, чем полная масса манипулятора.

Это предположение позволяет сделать два упрощения. Во-первых, можно пренебречь кинетической энергией манипулятора по сравнению с кинетической энергией груза. Во-вторых, при этом предположении частоты собственных упругих колебаний стержней будут много больше, чем частоты упругих колебаний манипулятора, обусловленные наличием груза. Главные (низшие) частоты колебаний системы тогда можно определить исходя из квазистатического приближения, т. е. полагая, что стержни находятся в каждый момент времени в равновесии. Предполагаем также, что угловые скорости звеньев малы по сравнению с низшими частотами упругих колебаний системы. Поэтому эффектами, обусловленными действием продольных центробежных сил на упругие стержни, пренебрегаем (см. [5]).

Наряду с упругой моделью будем рассматривать также вспомогательную абсолютно жесткую модель манипулятора, у которой углы в шарнирах и длины звеньев те же, что и для реальной упругой модели. На фиг. 1 жесткая модель показана тонкими линиями.

Кинематические управляющие воздействия — углы в шарнирах  $O_1, O_2, O_3$  будем задавать как функции времени  $t$  так, чтобы при жесткой модели манипулятора груз осуществлял заданное движение. Эти функции времени затем подставляются в уравнения движения упругого манипулятора, т. е. предполагается, что программное управление, найденное на основе жесткой модели, используется для реальной упругой модели. Численное интегрирование полученной системы позволит оценить влияние упругой податливости звеньев манипулятора на его динамику.

**2. Вычисление функций Лагранжа.** Для вычисления потенциальной энергии упругого двузвенника предварительно приведем формулу для потенциальной упругой энергии прямолинейного однородного стержня длины  $l$ . Сечение стержня считаем кольцевым или круговым. Пусть на одном (левом) конце стержень жестко заделан, а на другом задан вектор упругого смещения  $\mathbf{R}$  и вектор поворота  $\Phi$ . Стержень находится в равновесии. Обозначим через  $\mathbf{u}(s)$  вектор упругого смещения нейтральной оси стержня, а через  $\varphi(s)$  — угол поворота сечения стержня вокруг его оси (здесь аргумент  $s$  — длина стержня, отсчитанная от его левого конца,  $0 \leq s \leq l$ ). Потенциальная упругая энергия деформированного стержня равна

$$\Pi = \frac{EI}{2} \int_0^l (\mathbf{u}''(s))^2 ds + \frac{c}{2} \int_0^l (\varphi'(s))^2 ds \quad (2.1)$$

Здесь штрихами обозначены производные по  $s$ ,  $E$  — модуль Юнга материала стержня,  $I$  — момент инерции сечения стержня относительно диаметра сечения,  $c$  — жесткость стержня на кручение. Функции  $\mathbf{u}(s)$ ,  $\varphi(s)$  в квазистатическом приближении удовлетворяют уравнениям и граничным условиям

$$\begin{aligned} \mathbf{u}'''(s) &= 0, \quad \varphi''(s) = 0, \quad \mathbf{u}(0) = \mathbf{u}'(0) = \varphi(0) = 0 \\ \mathbf{u}(l) &= \mathbf{R}, \quad \mathbf{u}'(l) = \Phi \times \mathbf{k}, \quad \varphi(l) = \Phi \cdot \mathbf{k} \end{aligned} \quad (2.2)$$

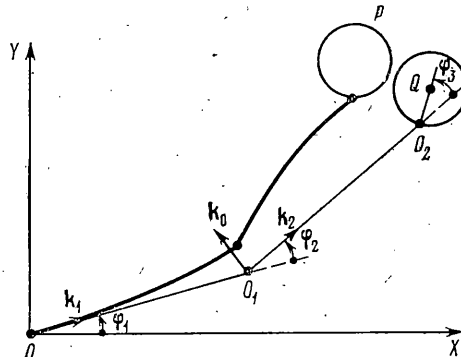
где  $\mathbf{k}$  — единичный вектор, направленный по оси стержня в недеформированном состоянии.

Подставляя в соотношение (2.1) решение краевой задачи (2.2), равное

$$\begin{aligned} \mathbf{u}(s) &= (3\mathbf{R} - l\Phi \times \mathbf{k}) (s/l)^2 + (l\Phi \times \mathbf{k} - 2\mathbf{R}) (s/l)^3 \\ \varphi(s) &= \Phi \cdot \mathbf{k} (s/l) \end{aligned} \quad (2.3)$$

получим потенциальную энергию упругого стержня в виде

$$\Pi = \frac{2EI}{l} \left[ 3 \frac{\mathbf{R}^2}{l^2} - 3 \frac{\mathbf{R}}{l} \cdot (\Phi \times \mathbf{k}) + (\Phi \times \mathbf{k})^2 \right] + \frac{c}{2l} (\Phi \cdot \mathbf{k})^2 \quad (2.4)$$



Фиг. 1

Перейдем к рассмотрению упругого двузвенника  $OO_1, O_2$ , оба звена которого — стержни колышевого или кругового поперечного сечения. Длины стержней  $OO_1, O_1O_2$  обозначим  $l_j$ , их жесткости на изгиб —  $E_J l_j$ , жесткости на кручение —  $c_j$ ; индекс  $j=1$  всюду относится к стержню  $OO_1$ ,  $j=2$  — к стержню  $O_1O_2$ .

Обозначим через  $\mathbf{k}_j$  орт, направленный по оси  $j$ -го стержня в недеформированном состоянии,  $\mathbf{R}_j, \Phi_j$  — векторы смещения и поворота конца  $j$ -го стержня относительно недеформированной конфигурации ( $j=1, 2$ ). Через  $\mathbf{k}_0$  обозначим орт, перпендикулярный  $\mathbf{k}_2$  и лежащий в плоскости  $OXY$  (фиг. 1). Жесткое смещение конца второго стержня (точки  $O_2$ ) равно  $\mathbf{R}_2 = \mathbf{R}_1 + \Phi_1 \times \mathbf{k}_2 l_2$ . Упругое смещение и вектор упругого поворота конца второго стержня запишутся так:

$$\mathbf{R}_2 - \mathbf{R}_2^0 = \mathbf{R}_2 - \mathbf{R}_1 - \Phi_1 \times \mathbf{k}_2 l_2, \quad \Phi_2 - \Phi_1 \quad (2.5)$$

Составим потенциальную энергию двузвенника, пользуясь формулой (2.4) и подставляя в нее вместо  $\mathbf{R}, \Phi$  векторы  $\mathbf{R}_1, \Phi_1$  для первого стержня и векторы (2.5) для второго стержня. Получим

$$\begin{aligned} \Pi = \Pi_1 + \Pi_2 = & 2E_J l_1^{-1} [3\mathbf{R}_1^2 l_1^{-2} - 3\mathbf{R}_1 \cdot (\Phi_1 \times \mathbf{k}_1) l_1^{-1} + (\Phi_1 \times \mathbf{k}_1)^2] + \\ & + \frac{1}{2} c_1 (\Phi_1 \times \mathbf{k}_1)^2 l_1^{-1} + 2E_J l_2^{-1} \{3(\mathbf{R}_2 - \mathbf{R}_1 - \Phi_1 \times \mathbf{k}_2 l_2)^2 l_2^{-2} - \\ & - 3(\mathbf{R}_2 - \mathbf{R}_1 - \Phi_1 \times \mathbf{k}_2 l_2) \cdot [(\Phi_2 - \Phi_1) \times \mathbf{k}_2] l_2^{-1} + \\ & + [(\Phi_2 - \Phi_1) \times \mathbf{k}_2]^2\} + \frac{1}{2} c_2 [(\Phi_2 - \Phi_1) \cdot \mathbf{k}_2]^2 l_2^{-1} \end{aligned} \quad (2.6)$$

Каждый из векторов  $\mathbf{R}_j, \Phi_j$  представим в виде суммы двух векторов, один из которых, помеченный одним штрихом, лежит в плоскости недеформированного манипулятора  $OXY$ , а второй, помеченный двумя штрихами, перпендикулярен этой плоскости

$$\mathbf{R}_j = \mathbf{R}_j' + \mathbf{R}_j'', \quad \Phi_j = \Phi_j' + \Phi_j'' \quad (j=1, 2) \quad (2.7)$$

Подставим формулы (2.7) в (2.6). Отметим, что векторы вида  $\Phi_j \times \mathbf{k}_p$  направлены перпендикулярно плоскости  $OXY$ , а векторы вида  $\Phi_j'' \times \mathbf{k}_p$  лежат в этой плоскости ( $j, p=1, 2$ ). Разобьем потенциальную энергию (2.6) на сумму двух слагаемых:  $\Pi'$  соответствует движениям в плоскости  $OXY$ , а  $\Pi''$  — движениям, перпендикулярным этой плоскости. Имеем

$$\Pi = \Pi' + \Pi''$$

$$\begin{aligned} \Pi' = & 2E_J l_1^{-1} [3\mathbf{R}_1'^2 l_1^{-2} - 3l_1^{-1} \mathbf{R}_1' \cdot (\Phi_1'' \times \mathbf{k}_1) + (\Phi_1'' \times \mathbf{k}_1)^2] + \\ & + 2E_J l_2^{-1} \{3l_2^{-2} (\mathbf{R}_2' - \mathbf{R}_1' - \Phi_1'' \times \mathbf{k}_2 l_2)^2 - 3l_2^{-1} (\mathbf{R}_2' - \mathbf{R}_1' - \Phi_1'' \times \mathbf{k}_2 l_2) \cdot \\ & \cdot [(\Phi_2'' - \Phi_1'') \times \mathbf{k}_2] + [(\Phi_2'' - \Phi_1'') \times \mathbf{k}_2]^2\} \\ \Pi'' = & 2E_J l_1^{-1} [3\mathbf{R}_1''^2 l_1^{-2} - 3l_1^{-1} \mathbf{R}_1'' \cdot (\Phi_1' \times \mathbf{k}_1) + \\ & + (\Phi_1' \times \mathbf{k}_1)^2] + c_1/2 (\Phi_1' \times \mathbf{k}_1)^2 l_1^{-1} + 2E_J l_2^{-1} \{3l_2^{-2} (\mathbf{R}_2'' - \mathbf{R}_1'' - \Phi_1' \times \mathbf{k}_2 l_2)^2 - \\ & - 3l_2^{-1} (\mathbf{R}_2'' - \mathbf{R}_1'' - \Phi_1' \times \mathbf{k}_2 l_2) \cdot [(\Phi_2' - \Phi_1') \times \mathbf{k}_2] + \\ & + [(\Phi_2' - \Phi_1') \times \mathbf{k}_2]^2\} + \frac{1}{2} c_2 l_2^{-1} [(\Phi_2' - \Phi_1') \cdot \mathbf{k}_2]^2 \end{aligned} \quad (2.8)$$

В дальнейшем будем рассматривать только плоские колебания (в плоскости  $OXY$ ):  $\mathbf{R}'' = \Phi'' = 0$ . Соответствующую потенциальную энергию  $\Pi'$  из (2.8) можно представить как квадратичную форму от шести скалярных переменных: от проекций  $x_1, y_1$  вектора  $\mathbf{R}_1'$  на орты  $\mathbf{k}_2, \mathbf{k}_0$ ; от проекций  $x, y$  вектора  $\mathbf{R}_2'$  на те же оси и от величин  $\Phi_1''$  и  $\Phi_2'' = \psi$ . Из этих шести переменных величин  $x_1, y_1, \Phi_1''$  можно исключить при помощи условий

$$\mathbf{R}_1' \cdot \mathbf{k}_1 = 0, \quad (\mathbf{R}_2' - \mathbf{R}_1') \cdot \mathbf{k}_2 = 0, \quad \partial \Pi' / \partial \Phi_1'' = 0 \quad (2.9)$$

Первые два равенства (2.9) есть условия нерастяжимости первого и второго стержней. Третье равенство (2.9) показывает, что равновесное

значение угла  $\Phi_1''$  должно доставлять минимум потенциальной энергии системы. Обозначим через  $\varphi_1$  угол поворота плечевого шарнира, отсчитанный от оси  $OX$ ,  $\varphi_2$  — угол поворота локтевого шарнира (угол между ортами  $k_1$ ,  $k_2$ ),  $\varphi_3$  — угол поворота кистевого шарнира, т. е. угол между ортом  $k_2$  и отрезком  $O_2Q$ , соединяющим шарнир  $O_2$  с проекцией центра инерции груза  $P$  на плоскость  $OXY$ . Имеем, очевидно,  $k_1 = k_2 \cos \varphi_2 - k_0 \sin \varphi_2$  (фиг. 1). Подставим это выражение в формулы (2.8), (2.9) и затем разложим векторы  $R_1'$ ,  $R_2'$  по осям  $k_2$ ,  $k_0$ . При помощи равенств (2.9) выразим  $x_1$ ,  $y_1$ ,  $\Phi_1''$  через  $x$ ,  $y$ ,  $\psi$ .

После преобразований соотношения (2.8) получим искомую потенциальную энергию  $\Pi'$  в виде положительно-определенной квадратичной формы от вектора  $q$ :

$$\Pi' = \frac{1}{2}(Cq \cdot q), \quad q = (x, y, \psi) \quad (2.10)$$

	$(\eta - \xi \cos \varphi_2)^2 + 4\xi(\eta + \cos \varphi_2)^2$	$\frac{3\eta + (4 + \xi) \cos \varphi_2}{\sin \varphi_2}$	$\eta + (2 + \xi) \cos \varphi_2$
$C = \frac{3E_2 I_2}{l_2^3(1 + \xi)}$	$\xi s_i n^2 \varphi_2$	$\sin \varphi_2$	$\sin \varphi_2$
	$\frac{3\eta + (4 + \xi) \cos \varphi_2}{\sin \varphi_2}$	$4 + \xi$	$-(2 + \xi)$
	$\frac{\eta + (2 + \xi) \cos \varphi_2}{\sin \varphi_2}$	$-(2 + \xi)$	$\frac{4}{3} + \xi$
	$\xi = E_2 I_2 l_1 / E_1 I_1 l_2$	$\eta = l_2 / l_1$	

Здесь  $q$  — вектор обобщенных координат, определяющий вместе с углами  $\varphi_1$ ,  $\varphi_2$ ,  $\varphi_3$  положение груза. Отметим, что матрица  $C$  зависит только от угла  $\varphi_2$ .

Кинетическая энергия системы в силу сделанных предположений есть кинетическая энергия плоского движения груза  $P$  и равна

$$T = \frac{1}{2}m r_Q^{-2} + \frac{1}{2}J(\dot{\varphi}_1 + \dot{\varphi}_2 + \dot{\varphi}_3 + \dot{\psi})^2 \quad (2.11)$$

Здесь  $m$  — масса груза,  $J$  — его центральный момент инерции относительно оси, перпендикулярной плоскости  $OXY$ ,  $r_Q$  — радиус-вектор проекции  $Q$  центра инерции груза  $P$  на плоскость  $OXY$ . Обозначая  $O_2Q = r$ , представим проекции вектора  $r_Q$  на ось  $OXY$  в виде

$$r_x = l_1 \cos \varphi_1 + (l_2 + x) \cos (\varphi_1 + \varphi_2) - y \sin (\varphi_1 + \varphi_2) + \\ + r [\cos (\varphi_1 + \varphi_2 + \varphi_3) - \psi \sin (\varphi_1 + \varphi_2 + \varphi_3)] \quad (2.12)$$

$$r_y = l_1 \sin \varphi_1 + (l_2 + x) \sin (\varphi_1 + \varphi_2) + y \cos (\varphi_1 + \varphi_2) + \\ + r [\sin (\varphi_1 + \varphi_2 + \varphi_3) + \psi \cos (\varphi_1 + \varphi_2 + \varphi_3)], \quad r_Q^{-2} = r_x^{-2} + r_y^{-2}$$

Угол  $\psi$  предполагается малым.

Подставляя (2.12) в (2.11), получим кинетическую энергию в виде неоднородной квадратичной формы от  $q$ ,  $q'$  с коэффициентами, зависящими от  $\varphi$ ,  $\dot{\varphi}$ . Искомая функция Лагранжа  $L = T - \Pi'$  определена равенствами (2.10) — (2.12) и является функцией вида  $L = L(q, q', \varphi, \dot{\varphi})$ , а именно неоднородной квадратичной формой от  $q$ ,  $q'$ , где  $q$  — вектор обобщенных координат (2.10),  $\varphi = (\varphi_1, \varphi_2, \varphi_3)$ .

**3. Уравнения движения и их интегрирование.** Предполагаем, что на манипулятор с грузом действуют только управляющие воздействия в шарнирах, которые обеспечивают изменение углов по заданным законам:  $\varphi_j = \varphi_j(t)$ ,  $j = 1, 2, 3$ .

Составим уравнения Лагранжа

$$\frac{d}{dt} \frac{\partial L}{\partial q'_j} - \frac{\partial L}{\partial q_j} = 0, \quad (j=1, 2, 3) \quad (3.1)$$

в которые подставим  $L = T - \Pi'$ , согласно (2.10) — (2.12).

Напомним предположения, которые были сделаны в пп. 1, 2 при выводе выражений (2.10), (2.11) для потенциальной и кинетической энергии. Малыми считались угол упругой закрутки  $\psi$ , упругие отклонения  $x, y$  по сравнению с длиной звена  $l$ , а также угловые скорости  $\dot{\varphi}_j$  ( $j=1, 2, 3$ ) по сравнению с низшей (основной) частотой колебаний манипулятора с грузом. Полученные уравнения (3.1) содержат слагаемые разного порядка малости. Величины вида  $\dot{\varphi}^2 |q|$ ,  $|\ddot{\varphi}| |q|$  эквивалентны отброшенным при выводе потенциальной энергии в п. 2 и должны быть опущены как малые высших порядков.

После этого уравнения движения в матричной форме примут вид

$$A\ddot{q} + G\dot{q} + Cq = B\ddot{\varphi} + f \quad (3.2)$$

где  $A, G, C, B$  — матрицы размерности  $3 \times 3$ ,  $q, \varphi, f$  — векторы; матрицы  $A, C, B$  зависят только от конфигурации манипулятора. Имеем

$$A = A(\varphi_3) = \begin{vmatrix} 1 & 0 & -r \sin \varphi_3 \\ 0 & 1 & r \cos \varphi_3 \\ -r \sin \varphi_3 & r \cos \varphi_3 & J/m + r^2 \end{vmatrix} m$$

$$B = B(\varphi_2, \varphi_3) =$$

$$= \begin{vmatrix} -l_1 \sin \varphi_2 + r \sin \varphi_3 & r \sin \varphi_3 & r \sin \varphi_3 \\ -l_1 \cos \varphi_2 - l_2 - r \cos \varphi_3 & -l_2 - r \cos \varphi_3 & -r \cos \varphi_3 \\ -rl_1 \cos(\varphi_2 + \varphi_3) - rl_2 \cos \varphi_3 - \frac{J}{m} - r^2 & -l_2 r \cos \varphi_3 - \frac{J}{m} - r^2 & -\frac{J}{m} - r^2 \end{vmatrix} m \quad (3.3)$$

Матрица  $C = C(\varphi_2)$  приведена в (2.10). При  $\varphi_2 = 0, \pi$  она имеет особенность, отвечающую распрямленному и сложенному в локтевом шарнире манипулятору. Элементы матрицы  $G$  — линейные функции от  $\varphi$ , эта матрица равна

$$G = 2 \begin{vmatrix} 0 & -(\varphi_1 + \varphi_2) & -(\varphi_1 + \varphi_2 + \varphi_3) r \cos \varphi_3 \\ \varphi_1 + \varphi_2 & 0 & -(\varphi_1 + \varphi_2 + \varphi_3) r \sin \varphi_3 \\ (\varphi_1 + \varphi_2) r \cos \varphi_3 & (\varphi_1 + \varphi_2) r \sin \varphi_3 & 0 \end{vmatrix} m \quad (3.4)$$

Компоненты  $f_i$  вектора  $f$  в (3.2) являются однородными квадратичными формами от  $\varphi$  с коэффициентами, зависящими от  $\varphi$ :

$$\begin{aligned} f_1 &= ml_1 \dot{\varphi}_1^2 \cos \varphi_2 + ml_2 (\dot{\varphi}_1 + \dot{\varphi}_2)^2 + mr (\dot{\varphi}_1 + \dot{\varphi}_2 + \dot{\varphi}_3)^2 \cos \varphi_3 \\ f_2 &= -ml_1 \dot{\varphi}_1^2 \sin \varphi_2 + mr (\dot{\varphi}_1 + \dot{\varphi}_2 + \dot{\varphi}_3)^2 \sin \varphi_3 \\ f_3 &= -mr l_1 \dot{\varphi}_1^2 \sin(\varphi_2 + \varphi_3) - mr l_2 (\dot{\varphi}_1 + \dot{\varphi}_2)^2 \sin \varphi_3 \end{aligned} \quad (3.5)$$

Заметим, что при помощи линейного преобразования вектора  $q$  с коэффициентами, зависящими от  $\varphi$ , уравнения движения (3.2) можно привести к виду, в котором  $G = 0$ . Ниже, однако, будем использовать уравнения в форме (3.2).

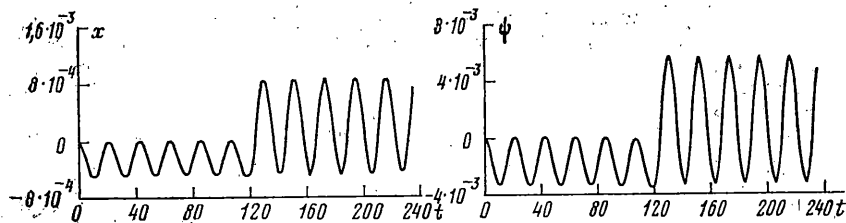
Разрешим полученную линейную систему (3.2)–(3.5) относительно вторых производных  $x'', y'', \psi''$  и перейдем к безразмерным переменным по формулам

$$t' = vt, \quad x' = x/l_2, \quad y' = y/l_2, \quad v = [3E_2 I_2 / (ml_2^3)]^{1/2} \quad (3.6)$$

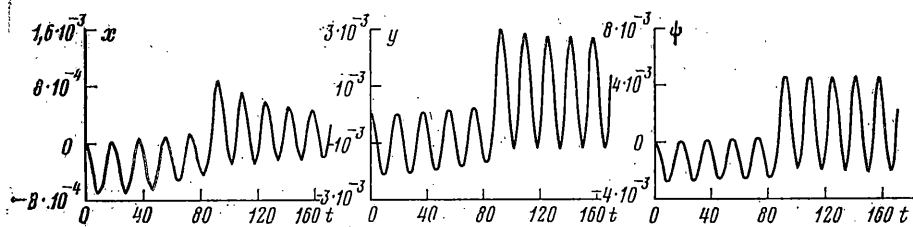
где  $v$  — частота свободных колебаний консоли длины  $l_2$  с точечной массой  $m$  на конце и нулевой собственной массой.

После преобразований получим линейную систему уравнений движения вида

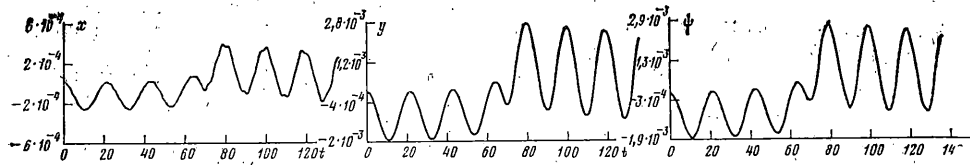
$$q'' + G_1 q' + C_1 q = B_1 \ddot{\varphi} + f_{(1)} \quad (3.7)$$



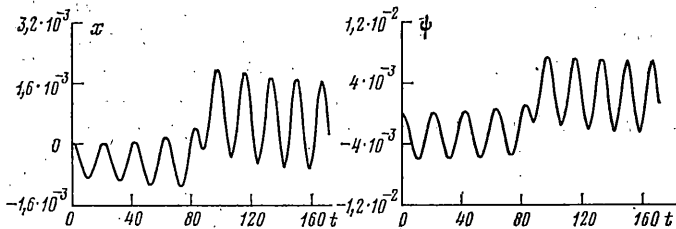
Фиг. 2



Фиг. 3



Фиг. 4



Фиг. 5

Здесь  $q$  — вектор с компонентами  $x'$ ,  $y'$ ,  $\phi$ , штрихи у новых переменных (3.6) в дальнейшем опускаем. Матрицы  $G_1$ ,  $C_1$ ,  $B_1$  и вектор  $f_1$  получаются из  $A$ ,  $G$ ,  $C$ ,  $B$ ,  $f$  в результате указанного преобразования: замены (3.6) и разрешения системы (3.2) относительно старших производных. Полученная система (3.7) содержит безразмерные параметры

$$\xi = E_2 I_2 / (E_1 I_1) \eta, \quad \eta = l_2 / l_1, \quad \kappa = r / l_2, \quad \beta = m l_2^2 / J \quad (3.8)$$

Функции  $\phi_i(t)$  выбираются так, чтобы в случае абсолютно жесткой модели манипулятора движение груза было заданным. Конкретные зависимости  $\phi_i(t)$  приведены ниже.

Система (3.7) интегрировалась на ЭВМ численно на интервале  $[0, \tau]$  при нулевых начальных условиях

$$x(0) = y(0) = x'(0) = y'(0) = \psi(0) = \psi'(0) = 0$$

и при конкретных значениях параметров (3.8).

**4. Результаты расчётов.** Приведем для иллюстраций некоторые результаты расчётов упругих колебаний манипулятора при его движении.

Параметрам (3.8) придавались значения  $\xi=2/3$ ,  $\eta=1$ ,  $\kappa=0.5$ ;  $\beta=6$ , отвечающие равным длинам звеньев  $l_1=l_2$ . Однако звено  $O_1O_1$  более жесткое, чем  $O_1O_2$ , что отражает прочностные требования.

Зависимости  $\varphi_j(t)$  для фиг. 2–5 задавались кусочно-линейными, а именно

$$\dot{\varphi}_j(t) = w_j t, \quad 0 \leq t \leq \tau/2 \quad (j=1, 2, 3), \quad \dot{\varphi}_j(t) = w_j(\tau-t), \quad \tau/2 \leq t \leq \tau \quad (4.1)$$

Значения параметров  $\tau$ ,  $\varphi_j(0)$ ,  $w_j$  для вариантов фиг. 2–5 приведены ниже ( $N$  – номер соответствующей фигуры)

$N$	2	3	4	5
$w_1$	$9.1 \cdot 10^{-5}$	0	0	$0.7 \cdot 10^{-4}$
$w_2$	0	$4.4 \cdot 10^{-4}$	0	$1.4 \cdot 10^{-4}$
$w_3$	0	0	$2.1 \cdot 10^{-4}$	$0.7 \cdot 10^{-4}$
$\varphi_1(0)$	0	0	0	$\pi/12$
$\varphi_2(0)$	$\pi/6$	$\pi/2$	$\pi/6$	$\pi/6$
$\varphi_3(0)$	0	0	0	$\pi/12$
$\tau$	236	171	136	171

По этим значениям и формулам (4.1) полностью восстанавливаются зависимости  $\varphi_j(t)$ . Варианты  $N=2\div 4$  отвечают работе только одного из шарниров ( $N=2$  – плечевого,  $N=3$  – локтевого,  $N=4$  – кистевого) при фиксированных углах в остальных шарнирах. В каждом из этих вариантов угол в работающем шарнире изменяется за время  $\tau$  на один радиан. Вариант  $N=5$ , в котором изменяются все три угла, отвечает для жесткой модели поступательному движению груза  $P$ ; точка  $Q$  движется по прямой, проходящей через точку  $O$  и через начальное положение центра инерции груза  $Q$ .

На фиг. 2–5 в безразмерных переменных представлены графики, полученные в результате численного решения системы (3.7). Из графиков, приведенных на фиг. 3, 4, видно, что характер изменения величин  $u$  и  $\psi$  аналогичен, поэтому на остальных графиках даны только  $x$  и  $\psi$ . Графики позволяют судить о характере упругих колебаний манипулятора. Отметим, что частоты системы (3.7) распределены следующим образом: имеется низшая (основная) частота и две более высоких частоты, которые в 8–15 раз выше. Поэтому колебания в основном однчастотные (фиг. 2–5). При манипулировании грузом (работает только кистевой шарнир) заметны также колебания высших частот (фиг. 4). На фиг. 3, 5 заметно изменение частоты в процессе работы манипулятора, обусловленное изменением угла  $\varphi_2$ , характеризующим эффективную жесткость манипулятора.

Полученные графики позволяют оценить амплитуду упругих колебаний. При работе транспортных шарниров (плечевого и локтевого) амплитуда колебаний составляет 0,4–0,8%, а при работе манипуляционного (кистевого) шарнира – 0,2% от длины звена.

#### ЛИТЕРАТУРА

1. Попов Е. П., Верещагин А. Ф., Зенкевич С. А. Манипуляционные роботы: динамика и алгоритмы. М.: Наука, 1978. 398 с.
2. Кулешов В. С., Лакота Н. А. Динамика систем управления манипуляторами. М.: Энергия, 1971. 304 с.
3. Пол Р. Моделирование, планирование траекторий и управление движением роботов манипулятора. М.: Наука, 1976. 103 с.
4. Book W. J. Analysis of massless elastic chains with servo controlled joints. — Trans. ASME J. Dynamical Syst. Measurement and Control, 1979, v. 101, No. 3, p. 187–192.
5. Пановко Я. Г., Губанова И. И. Устойчивость и колебания упругих систем. М.: Наука, 1979. 384 с.

Москва

Поступила в редакцию  
30.IV.1980